

Kategorie:Fyziologie

Subcategories

This category has the following 7 subcategories, out of 7 total.

C

- Cyanóza (5 P)

D

- Děje na membráně (9 P, 2 F)

F

- Fyziologická schémata (91 F)
- Fyziologie Praktika (21 P, 2 F)
- Fyziologie Přednášky (2 P)

S

- SIMcentrum (10 F)
- Slovník fyziologie (1 C, 258 P)

Pages in category "Fyziologie"

The following 200 pages are in this category, out of 851 total.

(previous page) (next page)

1

- 1. Fickův zákon

A

- AB0 systém
- Acetylcholin
- Acidobazická rovnováha
- Acidobazické reakce
- Acidóza (rozcestník)
- Adaptace receptoru
- Adenylátcykláza
- ADH
- Adiponektin
- Adrenalin
- Adrenokortikotropní hormon
- Aferentní
- Aglutinace
- Aglutinin
- Agonista
- Agranulocyty
- Akomodace
- Aktin
- Aktivní transport
- Akutní horská nemoc
- Akvaporin
- Akční a sumační potenciály
- Akční potenciál (fyziologie)
- Akční potenciál (fyziologie)/hints
- Akční potenciál nervového vlákna, hladkého, srdečního a kosterního svalu – srovnání
- Akční potenciál v srdci
- Akční potenciál versus postsynaptický potenciál
- Aldosteron
- Alfa-dextrin
- Alveolo-kapilární membrána
- Amylin

- Amylolytický
- Amyláza (heslo)
- Anasarka
- Androgeny (fyziologie)
- Androgeny a antiandrogeny (farmakologie)
- Angiotenzin
- Anizokorie
- Anorganické látky v budovách
- Anoxie
- Anoxémie
- Antagonista
- Anterográdní
- Antikoagulancia
- Antioxidační ochrana lidského těla
- Antiport
- Antitrombin III
- Anurie
- Apoptóza
- Apoptóza a klinické důsledky poruch její regulace
- *APUD systém*
- Arteriální a venózní tep
- Asfyxie
- Aspekce
- Atropin
- Audiometrie (fyziologie)
- Auskultace

B

- Baktericidní
- Bakteriofág (heslo)
- Barevná hodnota erytrocytu
- Barorecepční citlivost
- Baroreflex
- Barotrauma
- Batmotropie
- Bazocytopenie
- Bazofilie
- Bazofilní granulocyt
- Bazální ganglia
- Bazální metabolismus
- Bdění a spánek
- Bicepsový reflex
- Bilirubin
- Biliverdin
- Biochemická vyšetření u akutního infarktu myokardu
- Biochemické ukazatele akutního infarktu myokardu
- Bioenergetika buňky
- Biofeedback
- Biofyzika sluchu
- Biologická membrána
- Biologická membrána a transport látek přes biologickou membránu
- Biologické rytmy
- Biomechanika krevního oběhu
- Biomechanika svalového stahu
- Biosignalslux (2. LF UK)
- Biotin
- Biotovo dýchání
- BITalino (2. LF UK)
- BMI
- Bohrův efekt
- Bowditchův efekt
- Bradykardie
- Bradypnoe
- Brocovo centrum řeči
- Brugadaův syndrom
- Buněčná signalizace
- Buněčné dýchání
- Buněčné jádro
- Buňka
- Bílkoviny v séru a moči (1. LF UK, VL)
- Bürkerova komůrka

C

- C-peptid
- Cajalovy buňky
- Celková tělesná voda
- Centrální nervový systém
- Centrální žilní tlak
- Ceruloplazmin
- Charakteristiky biosignálů
- Chemicky řízené iontové kanály
- Chemická regulace dýchání
- Chemotaxe
- Cheyneovo-Stokesovo dýchání
- Chloridy
- Cholecystokinin
- Cholesterol
- Choriový gonadotropin
- Chrom
- Chronotropie
- Chuť a čich
- Chuťové receptory
- Cirkadiánní rytmus
- Cirkulace mozkomíšního moku
- Cyklické změny v ženském těle
- Cytoplazma
- Cytoskelet
- Cytotoxicita
- Cévy
- Cévy mozku

D

- D-dimery
- Dechová práce
- Degradace proteinů
- Dendritické buňky
- Denervačná hypersenzitivita
- Depolarizace
- Deriváty hemoglobinu
- Destičková granula
- Destičková zátka
- Destičkový hematokrit
- Deuteranomálie
- Deuteranopie
- Diabetes insipidus
- Diadochokineze
- Diapedéza
- Diastola
- Diastolický krevní tlak
- Diastáza
- Diferenciace
- Difuze
- Dilatační kardiomyopatie (pediatrie)
- Disociační šok (pediatrie)
- Distenze
- Distribuční šok (pediatrie)
- Distribuční šíře trombocytů
- Diuréza
- Donnanova rovnováha/příklad
- Dopamin
- Doporučený příjem živin
- Dromotropie
- Druží poslové
- Dráha zadních míšních provazců
- Dutina ústní
- Dysbalance chloru
- Dysbalance hořčíku
- Dysbalance natria (pediatrie)
- Dýchání (rozcestník)
- Dýchání a jeho poruchy
- Dědičnost krevně skupinových systémů
- Důsledky a důvody pocení při fyzické aktivitě

E

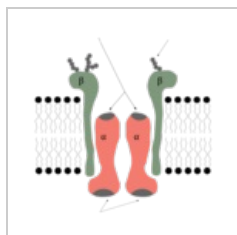
- Eferentní
- Eikosanoidy

- Likosanirovay
- Ejakulácia
- Ejekční frakce
- Elastin
- Elektrická aktivita buněk, tkání a orgánů
- Elektrické a magnetické vlastnosti tkání
- Elektrické projevy GIT
- Elektroencefalografie
- Elektrofyziologické metody v klinické diagnostice
- Elektrokardiografie
- Elektrokardiografie (2. LF UK)
- Elektrokardiografie (2. LF UK)/Vyhodnocení
- Elektromyografie
- Elementární reflexy posturální
- Embolus
- End-diastolický objem
- End-systolický objem
- Endergonická reakce
- Endokrinní funkce tukové tkáně
- Endoplazmatické retikulum
- Endorfiny
- Endotel
- Endotelin
- Energetický systém buňky
- Enterocyt
- Eozinofilie
- Eozinofilní granulocyt
- Eozinopenie
- Epitop
- Erytropenie
- Erythropoetin

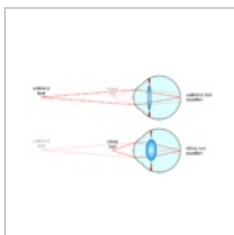
(previous page) (next page)

Media in category "Fyziologie"

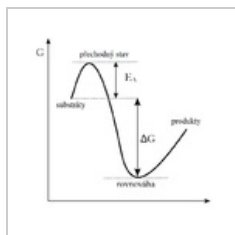
The following 175 files are in this category, out of 175 total.



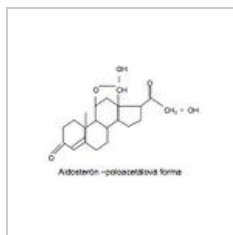
604px-Sodium P...
604 × 599; 60 KB



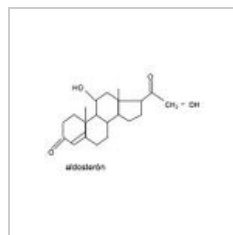
Akomodace oka...
960 × 540; 14 KB



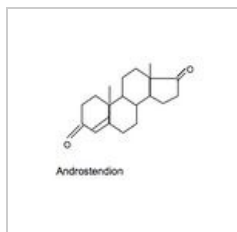
Aktivacni-enejie-...
639 × 611; 21 KB



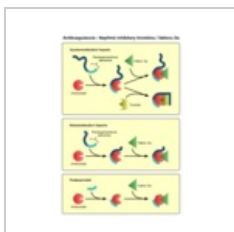
Aldosteron poloa...
275 × 213; 28 KB



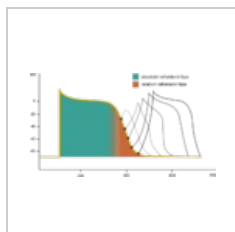
Aldosteron.jpg
273 × 178; 19 KB



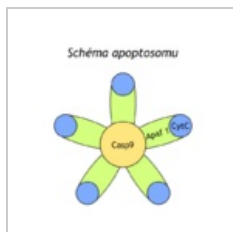
Androstendion.jpg
222 × 165; 17 KB



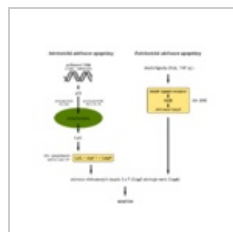
Antikoag nizkom...
800 × 1,200; 132 KB



AP.png
1,000 × 561; 55 KB



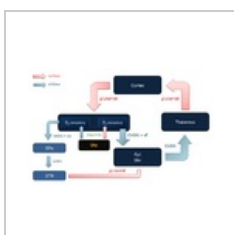
Apoptosom.png
640 × 640; 25 KB



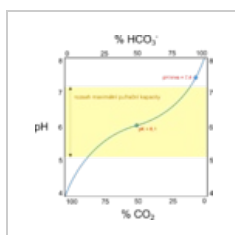
Apoptóza.png
1,024 × 1,024; 33 KB



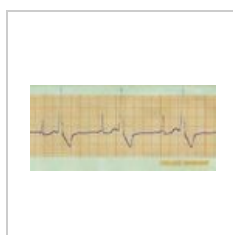
Audiogram.jpg
2,634 × 1,866;
3.34 MB



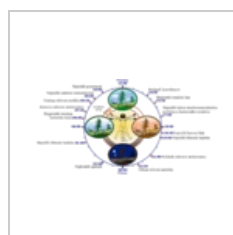
Bazalni ganglia.p...
923 × 588; 50 KB



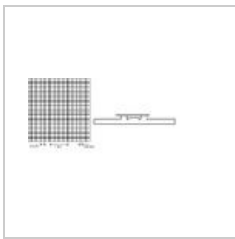
Bicarbonate buff...
1,000 × 1,040; 73 KB



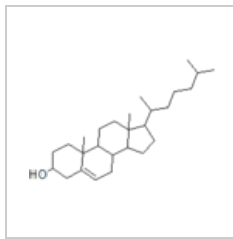
Bigeminie.jpg
800 × 365; 84 KB



Biological clock h...
1,200 × 620; 264 KB



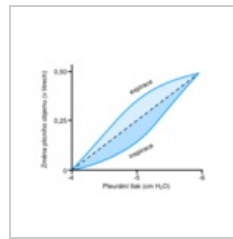
Burkerova komur...
741 × 352; 34 KB



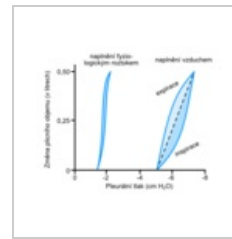
Cholesterol.png
208 × 142; 10 KB



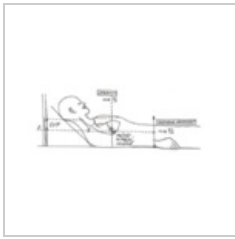
CoagAnticoag.jpg
451 × 148; 13 KB



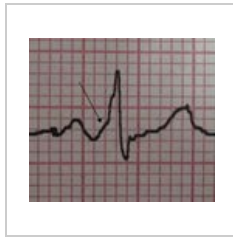
Compliance 1.png
340 × 280; 21 KB



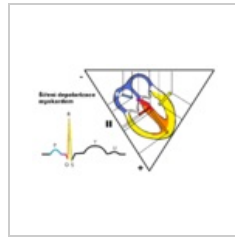
Compliance 2.png
340 × 280; 25 KB



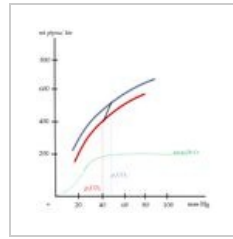
CŽT Fyziologie.png
535 × 207; 85 KB



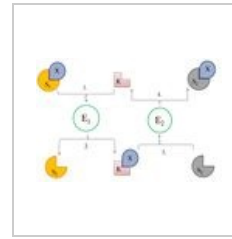
Delta vlny při WP...
681 × 600; 60 KB



Depolarizace.png
1,715 × 1,025; 302 KB



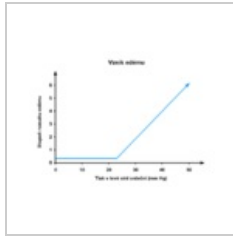
Disociační křivka ...
756 × 777; 54 KB



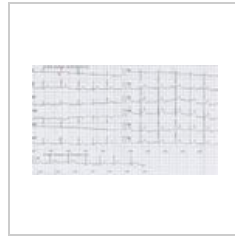
DSC 1639.JPG
786 × 522; 43 KB



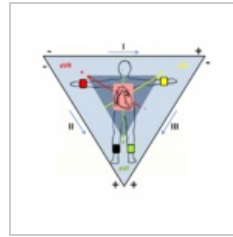
Dynamický tlako...
1,280 × 720; 116 KB



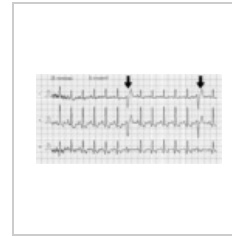
Edem plic.png
520 × 380; 20 KB



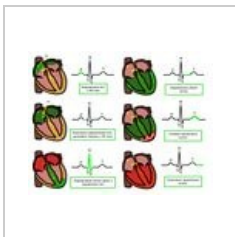
Egs3.jpg
3,339 × 1,984;
2.82 MB



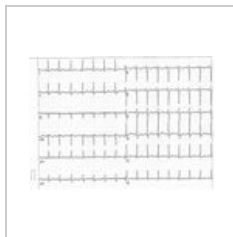
Einthoven.png
1,931 × 1,717;
1.26 MB



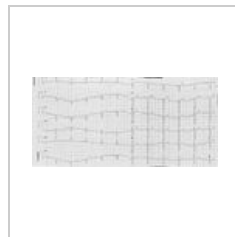
EKG - KES.png
617 × 299; 4 KB



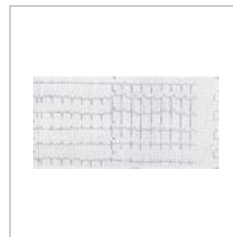
EKG křivka.jpeg
2,154 × 1,668; 548 KB



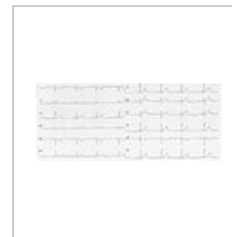
Ekg normal.jpg
807 × 585; 59 KB



Ekgs1.jpg
3,171 × 1,537;
2.51 MB



Ekgs2.jpg
3,155 × 1,572;
2.51 MB



Ekgs4.jpg
3,074 × 1,269;
1.03 MB



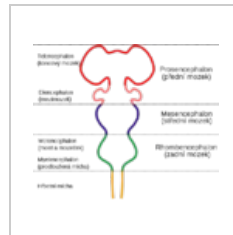
Elektroda noha.jp...
3,456 × 2,210;
1.35 MB



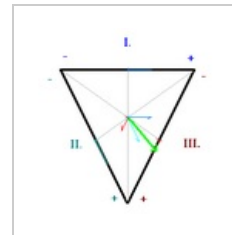
Elektroda ruka.jpeg
3,456 × 2,202; 1.4 MB



Elfo lppr nt.jpg
855 × 542; 87 KB



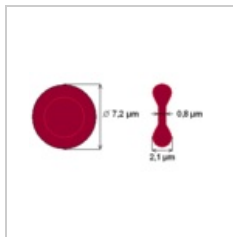
Embryonální moz...
710 × 599; 57 KB



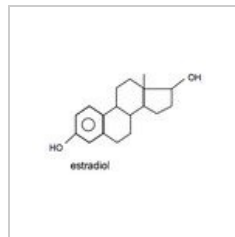
Eos ukazka.PNG
238 × 243; 4 KB



Eos.PNG
377 × 363; 8 KB



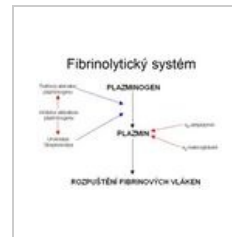
Ery-schema.png
359 × 192; 4 KB



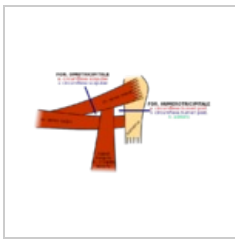
Estradiol.jpg
224 × 150; 16 KB



Exocyt.gif
548 × 410; 185 KB



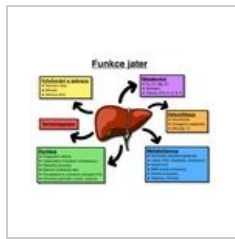
Fibrinolytický sys...
812 × 595; 53 KB



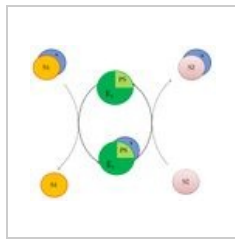
Foramina.svg
700 × 450; 22 KB



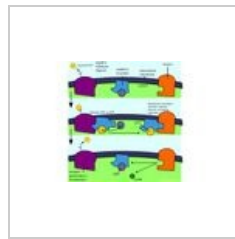
Funkce heparinu...
534 × 282; 23 KB



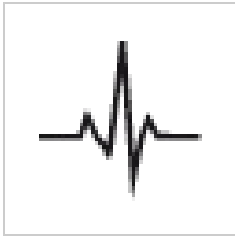
Funkce jater.jpeg
2,154 × 1,668; 478 KB



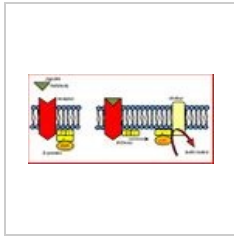
Funkce prostetic...
790 × 667; 52 KB



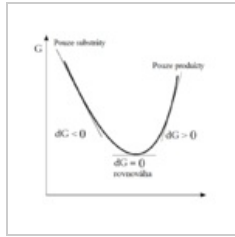
Funkce receptorů...
2,000 × 1,296; 239 KB



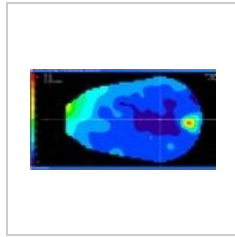
Fyziologie.png
50 × 50; 3 KB



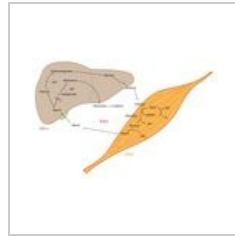
G-protein.JPG
1,002 × 483; 82 KB



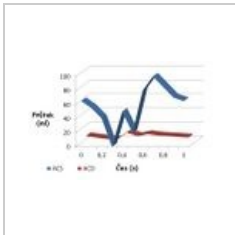
Gibsova-E---cj.png
640 × 612; 25 KB



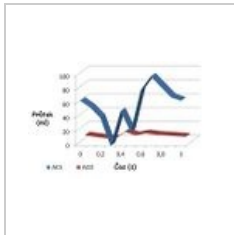
Glaucoma test.jpg
1,130 × 610; 95 KB



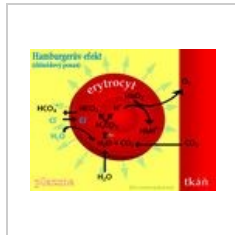
Glukozo-alaninov...
1,913 × 1,237; 264 KB



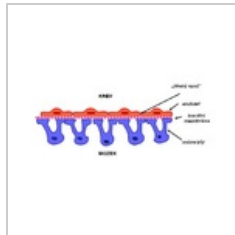
Graf-koronarni-pr...
1,033 × 664; 55 KB



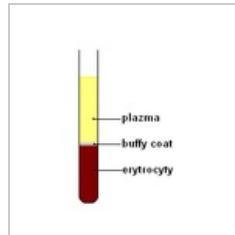
Graf-koronarni-pr...
536 × 339; 22 KB



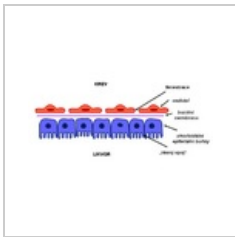
Hamburgerův efe...
678 × 520; 43 KB



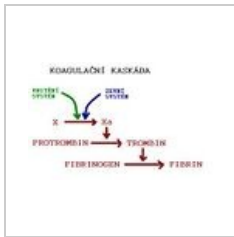
Hematoencefalic...
787 × 392; 33 KB



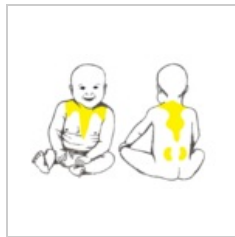
Hematokrit.PNG
159 × 229; 2 KB



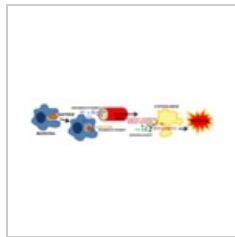
Hematolymphová...
839 × 458; 37 KB



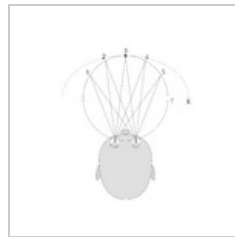
Heparin.JPG
433 × 274; 17 KB



Hnědá tuková tk...
1,709 × 1,238; 790 KB



Horečka.png
2,459 × 640; 105 KB



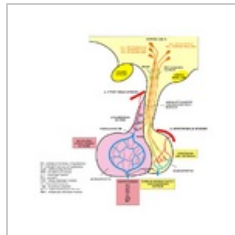
Horopter.png
3,000 × 3,500; 552 KB



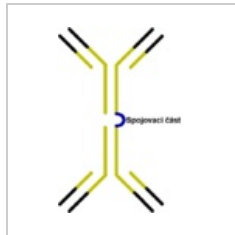
Houpacka-cj.png
399 × 611; 23 KB



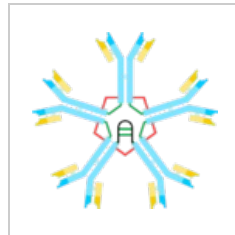
Hruďní svody.png
2,058 × 2,070; 4.55 MB



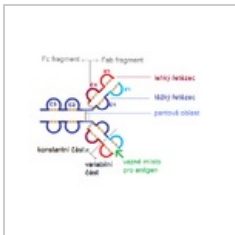
Hypofyzarni obe...
747 × 765; 194 KB



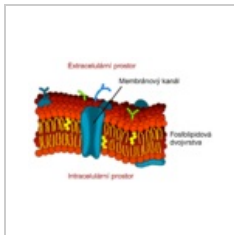
IgA.png
453 × 642; 5 KB



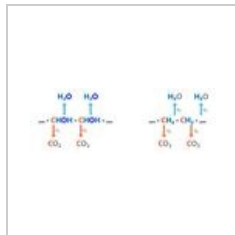
IgM.png
400 × 384; 36 KB



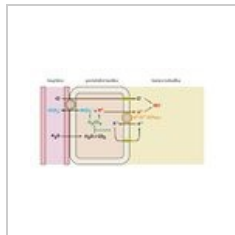
Imunoglobulin.png
500 × 376; 15 KB



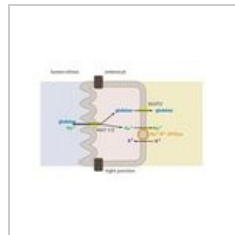
Kanalprotein 01...
2,600 × 1,767; 268 KB



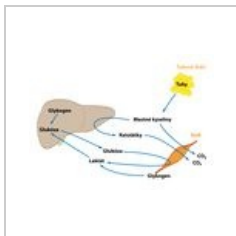
Kapitola 09 07-0...
824 × 288; 95 KB



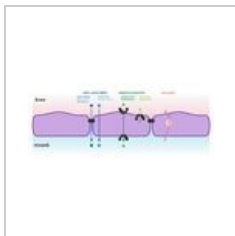
Kapitola-09-03-0...
3,169 × 1,793; 352 KB



Kapitola-09-03-0...
2,881 × 1,881; 321 KB



Kapitola-09-07-0...
2,600 × 1,896; 368 KB



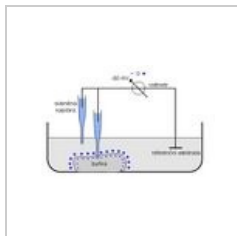
Kapitola-12-12-0...
2,677 × 1,117; 267 KB



Karta krevní skup...
960 × 720; 17 KB



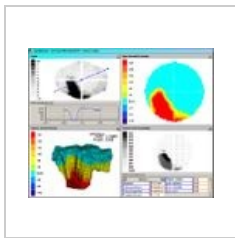
KES.JPG
2,093 × 422; 573 KB



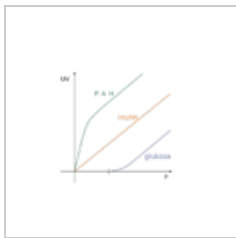
KMN.JPG
477 × 293; 15 KB



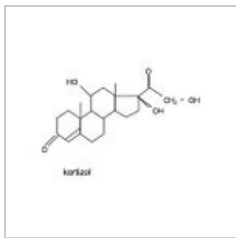
KMN02.jpg
712 × 142; 32 KB



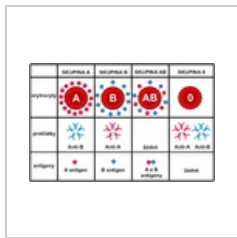
Kombinované zo...
487 × 392; 38 KB



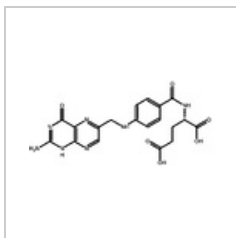
Koncentrace v m...
1,052 × 744; 12 KB



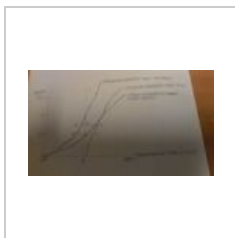
Kortizol.jpg
262 × 180; 20 KB



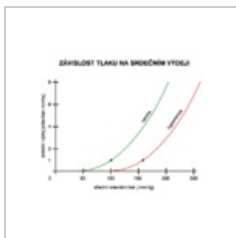
Krevni skupiny.png
600 × 387; 101 KB



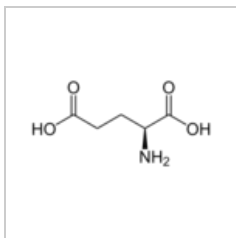
Kyselina listova.p...
1,288 × 599; 10 KB



Křivka relaxační t...
1,280 × 720; 125 KB



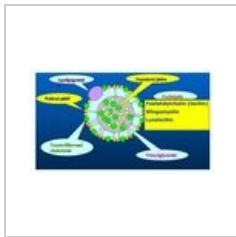
Křivka výdej tlak...
720 × 580; 14 KB



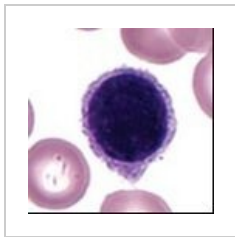
L-Glutaminsäure ...
256 × 121; 4 KB



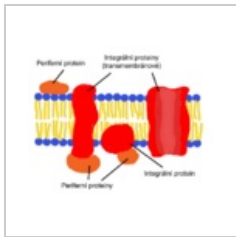
Laminarni proud...
462 × 213; 3 KB



Lipoprot NT.jpg
887 × 500; 110 KB



Lymfocyt.jpg
262 × 261; 15 KB



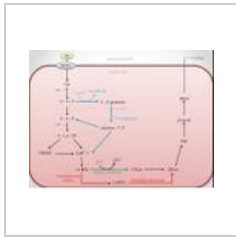
Membrane protei...
438 × 362; 22 KB



Menstruacni cykl...
600 × 401; 63 KB



Metabolismus a ...
1,596 × 1,300; 49 KB



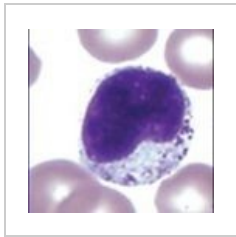
Metabolismus er...
1,068 × 803; 110 KB



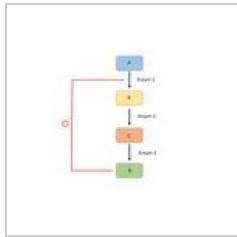
Metabolismus fru...
501 × 343; 42 KB



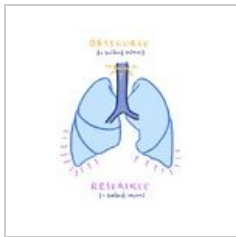
Mikce schéma.png
603 × 803; 78 KB



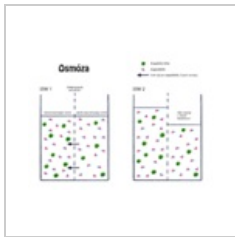
Monocyt.jpg
262 × 260; 15 KB



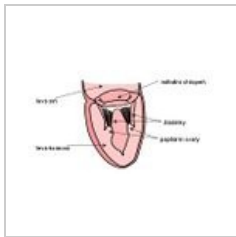
Negativnizpetnav...
858 × 646; 24 KB



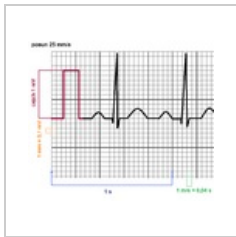
Obstrukce vs res...
2,182 × 3,086; 371 KB



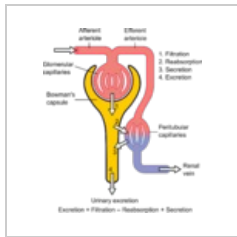
Osmóza.png
1,024 × 769; 65 KB



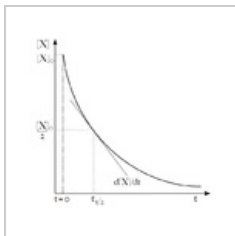
Papilarnisval.JPG
526 × 293; 19 KB



ParametryEKG.png
664 × 577; 21 KB



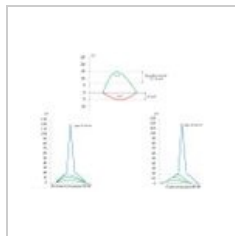
Physiology of Ne...
1,046 × 1,221; 166 KB



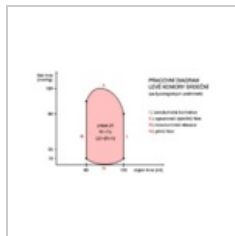
Poločas.png
638 × 589; 15 KB



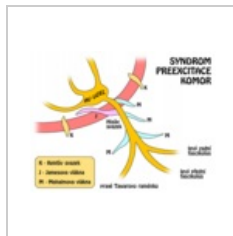
Polykání.jpg
1,066 × 384; 56 KB



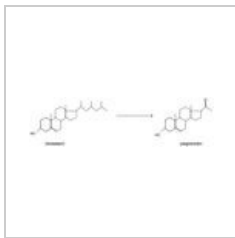
Postsynaptické p...
1,063 × 801; 83 KB



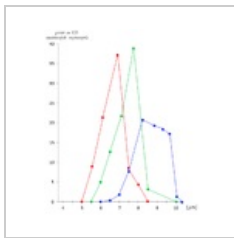
Pracovní diagram...
960 × 560; 21 KB



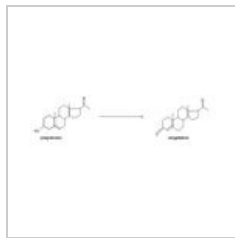
Preexcitace kom...
600 × 460; 43 KB



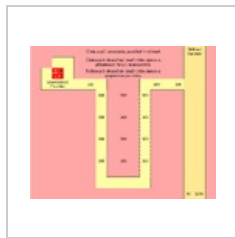
Pregnenolon z ch...
658 × 174; 24 KB



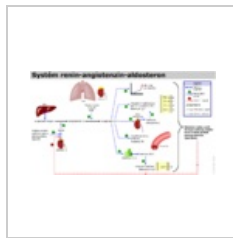
Price-Jones.png
663 × 785; 59 KB



Progesterón.jpg
675 × 194; 32 KB



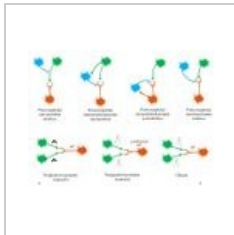
Protiproudový sy...
797 × 658; 342 KB



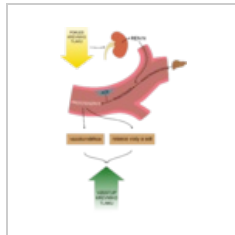
RAAS.png
1,050 × 585; 41 KB



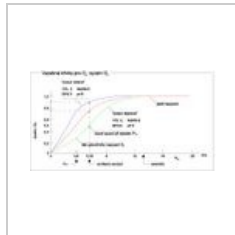
Receptory.png
1,024 × 853; 70 KB



Regulace okruhů...
1,060 × 802; 126 KB



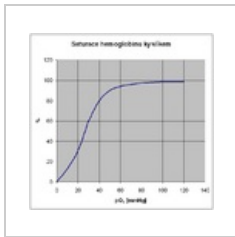
Renin angiotenzi...
1,641 × 2,384; 244 KB



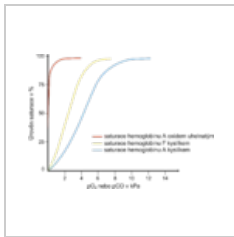
Saturace hemogl...
702 × 379; 71 KB



Saturace hemogl...
0 × 0; 210 KB



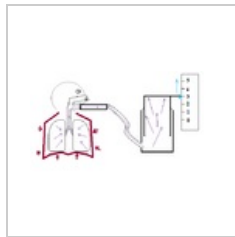
Saturace hemogl...
693 × 665; 13 KB



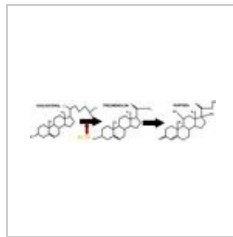
Saturacni krivka....
2,241 × 1,616; 165 KB



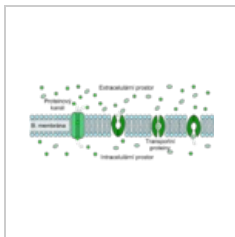
Schema farmakol...
649 × 390; 13 KB



Schema spiro.png
535 × 288; 10 KB



Schema syntezy ...
955 × 213; 39 KB



Scheme facilitate...
581 × 254; 84 KB

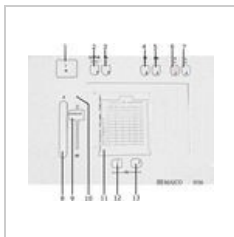


Schéma audiome...
2,772 × 2,366; 6.33 MB



Schéma Glykoen...
3,120 × 4,160; 2.82 MB

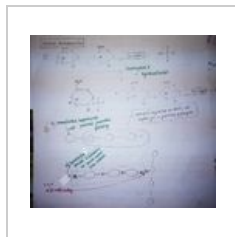


Schéma glykoge...
3,309 × 3,100; 2.35 MB



Schéma koagula...
1,452 × 1,164; 165 KB



Schéma Krebsov...
3,120 × 4,160; 3.38 MB

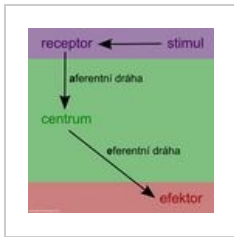


Schéma Reflexní...
1,920 × 1,920; 168 KB

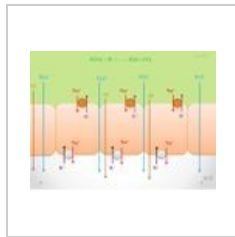


Schéma zahušťa...
1,057 × 790; 94 KB

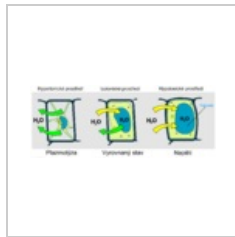
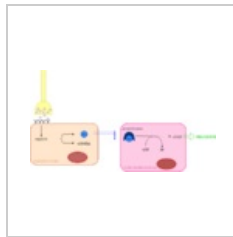
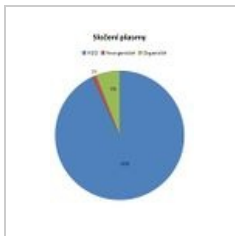


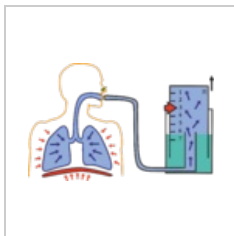
Schéma změn v r...
2,047 × 810; 251 KB



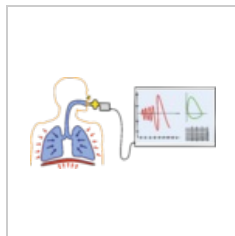
Signalizace NO.png
847 × 463; 51 KB



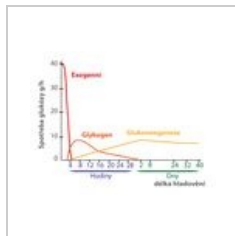
Složení plasmy.jpg
397 × 514; 22 KB



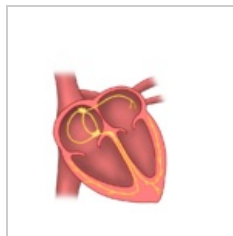
Spiro2.png
2,036 × 1,295; 277 KB



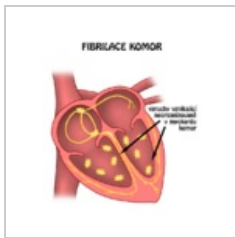
Spirometrie.png
2,639 × 1,295; 322 KB



Spotřebaglukozy...
1,945 × 1,509; 244 KB



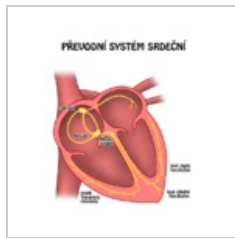
Srdce blank.png
600 × 700; 92 KB



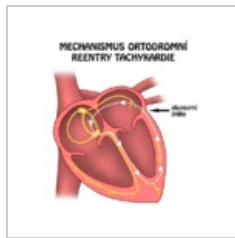
Srdce fibrilace ko...
600 × 700; 101 KB



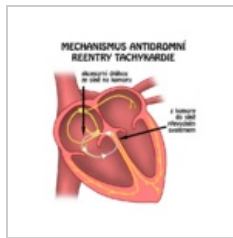
Srdce fibrilace si...
600 × 700; 99 KB



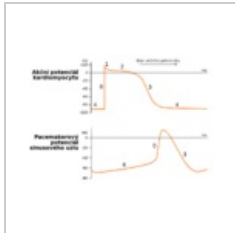
Srdce převodní s...
600 × 700; 103 KB



Srdce reentry.png
600 × 700; 106 KB



Srdce reentry2.png
600 × 700; 111 KB



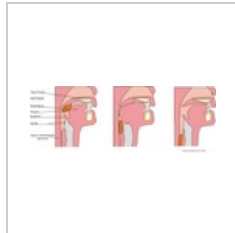
Srdeční potenciál...
1,024 × 720; 22 KB



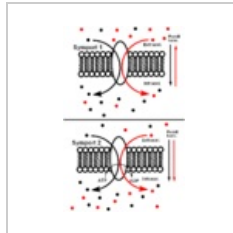
Struktura rhodop...
696 × 961; 130 KB



Svody.png
938 × 757; 451 KB



Swallow food.png
576 × 207; 46 KB



Symport.png
659 × 998; 27 KB



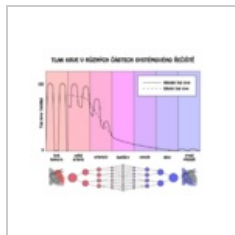
Syntéza choleste...
244 × 874; 6 KB

Tabulka otázka 2...
...

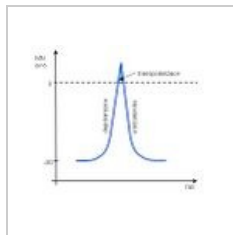
Tabulka otázka 2...
844 × 540; 104 KB



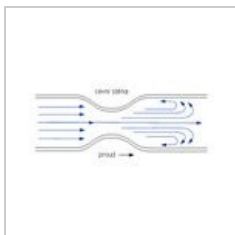
Termoreceptory...
850 × 400; 24 KB



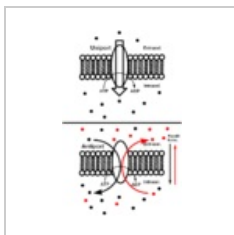
Tlak krve v recist...
1,080 × 860; 47 KB



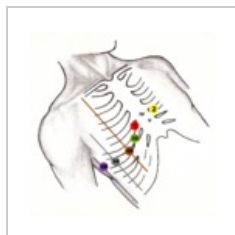
Transpolarizace.J...
483 × 401; 14 KB



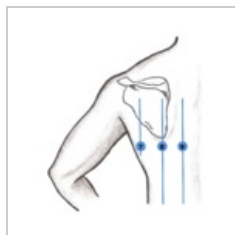
Turbulentní prou...
451 × 209; 14 KB



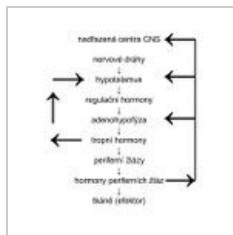
Uniport antiport...
659 × 1,022; 25 KB



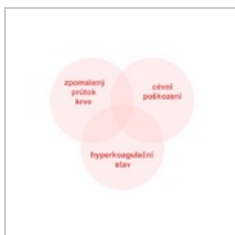
V3R-V6R.png
2,081 × 2,069; 4.6 MB



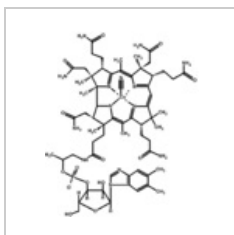
V789.png
1,684 × 1,844; 1.5 MB



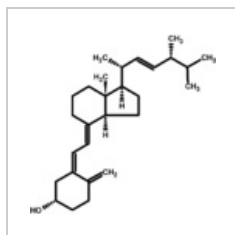
Vazba.jpg
438 × 500; 60 KB



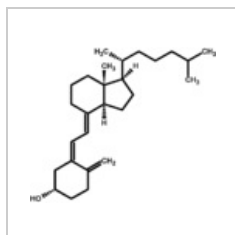
Virchowova triád...
563 × 501; 20 KB



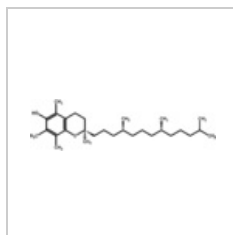
Vitamin B12.png
1,529 × 1,860; 38 KB



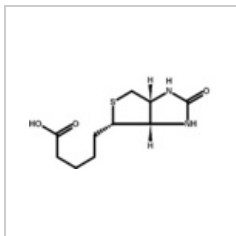
Vitamin D2.png
970 × 948; 11 KB



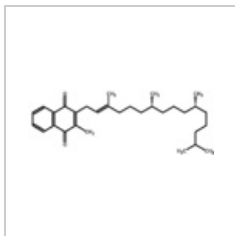
Vitamin D3.png
1,055 × 887; 11 KB



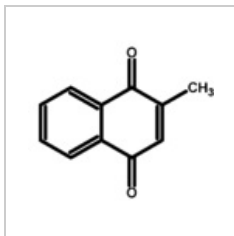
Vitamin E.png
1,817 × 493; 9 KB



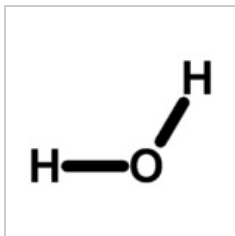
Vitamin H.png
848 × 423; 6 KB



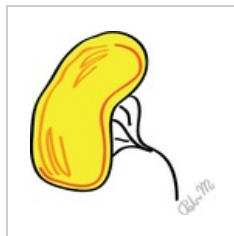
Vitamin K1.png
1,379 × 481; 8 KB



Vitamin K3.png
778 × 692; 7 KB



Voda.png
426 × 326; 2 KB



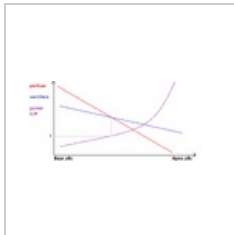
Vylučovací soust...
260 × 257; 15 KB



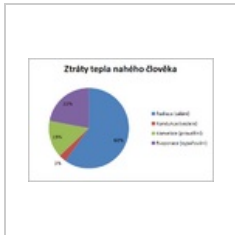
Vylučovací soust...
268 × 257; 11 KB



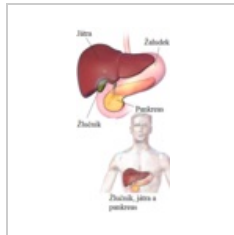
Warfarin 1200.jpg
1,200 × 1,015; 317 KB



Zonalita plic.png
1,901 × 807; 25 KB



Ztráty graf..png
457 × 303; 11 KB



Žlučník, játra, pa...
300 × 600; 167 KB